

FRAC22

5

Dim

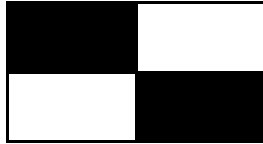
1

Depth

11

bestAlpha

1,18231

**FRAC32**

6

Dim

1,584963

Depth

11

bestAlpha

0,793064



alpha	s_e	s_D	D	D-D_theo	T	p-value
naïve	0,00562	0,00172	0,97720	0,02280	13,22360	0,00000
0,2	0,01825	0,00560	1,11938	0,11938	21,31823	0,00000
0,3	0,01749	0,00537	1,09154	0,09154	17,06085	0,00000
0,4	0,01648	0,00506	1,06984	0,06984	13,81513	0,00000
0,5	0,01549	0,00475	1,05288	0,05288	11,12848	0,00000
0,6	0,01454	0,00446	1,03949	0,03949	8,85025	0,00000
0,7	0,01366	0,00419	1,02883	0,02883	6,87932	0,00000
0,8	0,01284	0,00394	1,02027	0,02027	5,14577	0,00003
0,9	0,01209	0,00371	1,01336	0,01336	3,60032	0,00137
1	0,01142	0,00350	1,00773	0,00773	2,20774	0,03666
1,1	0,01080	0,00331	1,00312	0,00312	0,94264	0,35489
1,2	0,01025	0,00315	0,99933	0,00067	0,21352	0,83265
1,3	0,00976	0,00299	0,99618	0,00382	1,27436	0,21426
1,4	0,00932	0,00286	0,99357	0,00643	2,25011	0,03349
1,5	0,00893	0,00274	0,99138	0,00862	3,14862	0,00421
1,6	0,00858	0,00263	0,98953	0,01047	3,97615	0,00053
1,7	0,00827	0,00254	0,98797	0,01203	4,73787	0,00007
1,8	0,00800	0,00245	0,98665	0,01335	5,43828	0,00001
1,9	0,00776	0,00238	0,98553	0,01447	6,08146	0,00000
2	0,00754	0,00231	0,98456	0,01544	6,67123	0,00000

alpha	s_e	s_D	D	D-D_theo	T	p-value
naïve	0,00271	0,00092	1,57032	0,01464	15,84186	0,00000
0,2	0,01252	0,00426	1,68476	0,09979	23,39890	0,00000
0,3	0,01098	0,00374	1,65009	0,06513	17,40089	0,00000
0,4	0,00946	0,00322	1,62619	0,04123	12,78599	0,00000
0,5	0,00807	0,00275	1,60966	0,02469	8,98223	0,00000
0,6	0,00686	0,00234	1,59818	0,01322	5,65526	0,00001
0,7	0,00586	0,00200	1,59018	0,00522	2,61532	0,01547
0,8	0,00505	0,00172	1,58457	0,00039	0,22604	0,82317
0,9	0,00442	0,00151	1,58062	0,00434	2,88161	0,00842
1	0,00395	0,00134	1,57782	0,00714	5,31444	0,00002
1,1	0,00359	0,00122	1,57582	0,00914	7,46958	0,00000
1,2	0,00334	0,00114	1,57438	0,01058	9,30493	0,00000
1,3	0,00316	0,00108	1,57334	0,01162	10,80927	0,00000
1,4	0,00303	0,00103	1,57258	0,01238	12,00298	0,00000
1,5	0,00294	0,00100	1,57203	0,01293	12,92732	0,00000
1,6	0,00287	0,00098	1,57162	0,01335	13,63137	0,00000
1,7	0,00283	0,00096	1,57131	0,01365	14,16248	0,00000
1,8	0,00280	0,00095	1,57108	0,01388	14,56139	0,00000
1,9	0,00278	0,00095	1,57091	0,01405	14,86085	0,00000
2	0,00276	0,00094	1,57078	0,01418	15,08613	0,00000

FRAC33a

9

Dim 1

Depth 7

bestAlpha 1,26823

FRAC33b

10

Dim 1

Depth 7

bestAlpha NaN

alpha	s_e	s_D	D	D-D_theo	T	p-value
naïve	0,00363	0,00111	0,97972	0,02028	18,18519	0,00000
0,2	0,01723	0,00529	1,12320	0,12320	23,30294	0,00000
0,3	0,01626	0,00499	1,09498	0,09498	19,03638	0,00000
0,4	0,01526	0,00468	1,07317	0,07317	15,63185	0,00000
0,5	0,01426	0,00438	1,05611	0,05611	12,82334	0,00000
0,6	0,01331	0,00408	1,04264	0,04264	10,44470	0,00000
0,7	0,01241	0,00381	1,03191	0,03191	8,38419	0,00000
0,8	0,01157	0,00355	1,02329	0,02329	6,56429	0,00000
0,9	0,01079	0,00331	1,01632	0,01632	4,93004	0,00004
1	0,01008	0,00309	1,01065	0,01065	3,44193	0,00204
1,1	0,00944	0,00290	1,00600	0,00600	2,07133	0,04880
1,2	0,00886	0,00272	1,00217	0,00217	0,79745	0,43270
1,3	0,00833	0,00256	0,99899	0,00101	0,39475	0,69637
1,4	0,00786	0,00241	0,99634	0,00366	1,51610	0,14204
1,5	0,00743	0,00228	0,99413	0,00587	2,57428	0,01636
1,6	0,00705	0,00216	0,99226	0,00774	3,57473	0,00146
1,7	0,00671	0,00206	0,99069	0,00931	4,52124	0,00013
1,8	0,00641	0,00197	0,98935	0,01065	5,41649	0,00001
1,9	0,00614	0,00188	0,98820	0,01180	6,26241	0,00000
2	0,00590	0,00181	0,98723	0,01277	7,06053	0,00000

alpha	s_e	s_D	D	D-D_theo	T	p-value
naïve	0,01048	0,00357	0,98733	0,01267	3,54848	0,00171
0,2	0,01508	0,00514	1,16282	0,16282	31,68312	0,00000
0,3	0,01442	0,00491	1,13264	0,13264	27,00290	0,00000
0,4	0,01375	0,00468	1,10880	0,10880	23,22983	0,00000
0,5	0,01310	0,00446	1,08975	0,08975	20,10432	0,00000
0,6	0,01250	0,00426	1,07436	0,07436	17,45629	0,00000
0,7	0,01196	0,00407	1,06180	0,06180	15,17154	0,00000
0,8	0,01147	0,00391	1,05147	0,05147	13,17219	0,00000
0,9	0,01104	0,00376	1,04291	0,04291	11,40450	0,00000
1	0,01068	0,00364	1,03576	0,03576	9,83096	0,00000
1,1	0,01037	0,00353	1,02976	0,02976	8,42486	0,00000
1,2	0,01011	0,00344	1,02468	0,02468	7,16649	0,00000
1,3	0,00990	0,00337	1,02037	0,02037	6,04060	0,00000
1,4	0,00973	0,00331	1,01669	0,01669	5,03456	0,00004
1,5	0,00960	0,00327	1,01353	0,01353	4,13732	0,00040
1,6	0,00949	0,00323	1,01080	0,01080	3,33878	0,00285
1,7	0,00942	0,00321	1,00844	0,00844	2,62946	0,01499
1,8	0,00936	0,00319	1,00638	0,00638	2,00040	0,05740
1,9	0,00933	0,00318	1,00459	0,00459	1,44318	0,16245
2	0,00931	0,00317	1,00301	0,00301	0,94995	0,35201

FRAC33e 13

Dim 1

Depth 7

bestAlpha NaN

FRAC33f 14

Dim 1

Depth 7

bestAlpha 1,989592

alpha	s_e	s_D	D	D-D_theo	T	p-value
naïve	0,01468	0,00450	0,99215	0,00785	1,74155	0,09388
0,2	0,02458	0,00754	1,16229	0,16229	21,51662	0,00000
0,3	0,02361	0,00724	1,13232	0,13232	18,26899	0,00000
0,4	0,02266	0,00695	1,10875	0,10875	15,64132	0,00000
0,5	0,02177	0,00668	1,08999	0,08999	13,47298	0,00000
0,6	0,02094	0,00643	1,07489	0,07489	11,65485	0,00000
0,7	0,02019	0,00619	1,06263	0,06263	10,11051	0,00000
0,8	0,01951	0,00599	1,05258	0,05258	8,78509	0,00000
0,9	0,01890	0,00580	1,04430	0,04430	7,63822	0,00000
1	0,01836	0,00563	1,03741	0,03741	6,63954	0,00000
1,1	0,01789	0,00549	1,03164	0,03164	5,76562	0,00001
1,2	0,01747	0,00536	1,02679	0,02679	4,99804	0,00004
1,3	0,01711	0,00525	1,02268	0,02268	4,32192	0,00022
1,4	0,01679	0,00515	1,01919	0,01919	3,72502	0,00100
1,5	0,01652	0,00507	1,01620	0,01620	3,19711	0,00374
1,6	0,01628	0,00499	1,01363	0,01363	2,72948	0,01145
1,7	0,01607	0,00493	1,01141	0,01141	2,31467	0,02913
1,8	0,01590	0,00488	1,00949	0,00949	1,94621	0,06295
1,9	0,01574	0,00483	1,00782	0,00782	1,61846	0,11811
2	0,01561	0,00479	1,00635	0,00635	1,32652	0,19666

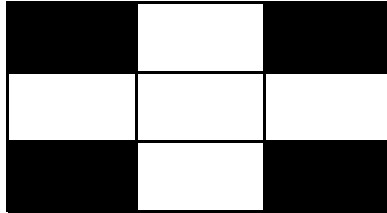
alpha	s_e	s_D	D	D-D_theo	T	p-value
naïve	0,01556	0,00406	0,98501	0,01499	3,69436	0,00095
0,2	0,02288	0,00597	1,15585	0,15585	26,12142	0,00000
0,3	0,02202	0,00574	1,12602	0,12602	21,94792	0,00000
0,4	0,02119	0,00553	1,10253	0,10253	18,55737	0,00000
0,5	0,02041	0,00532	1,08382	0,08382	15,74788	0,00000
0,6	0,01970	0,00514	1,06874	0,06874	13,38276	0,00000
0,7	0,01906	0,00497	1,05648	0,05648	11,36685	0,00000
0,8	0,01849	0,00482	1,04643	0,04643	9,63220	0,00000
0,9	0,01798	0,00469	1,03812	0,03812	8,12898	0,00000
1	0,01755	0,00458	1,03120	0,03120	6,81963	0,00000
1,1	0,01717	0,00448	1,02541	0,02541	5,67504	0,00000
1,2	0,01685	0,00439	1,02053	0,02053	4,67197	0,00007
1,3	0,01658	0,00432	1,01639	0,01639	3,79137	0,00073
1,4	0,01635	0,00426	1,01286	0,01286	3,01728	0,00538
1,5	0,01615	0,00421	1,00984	0,00984	2,33610	0,02687
1,6	0,01599	0,00417	1,00724	0,00724	1,73608	0,09354
1,7	0,01586	0,00414	1,00499	0,00499	1,20701	0,23753
1,8	0,01575	0,00411	1,00304	0,00304	0,73998	0,46547
1,9	0,01566	0,00408	1,00134	0,00134	0,32719	0,74596
2	0,01558	0,00406	0,99984	0,00016	0,03819	0,96981

FRAC43a 17

Dim 1,26186

Depth 7

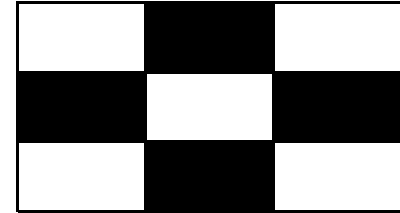
bestAlpha 1,1249

**FRAC43b** 18

Dim 1,26186

Depth 7

bestAlpha 1,341729



alpha	s_e	s_D	D	D-D_theo	T	p-value
naïve	0,01777	0,00463	1,24630	0,01556	3,35829	0,00227
0,2	0,02251	0,00587	1,38512	0,12326	20,99847	0,00000
0,3	0,02150	0,00561	1,35244	0,09058	16,15657	0,00000
0,4	0,02059	0,00537	1,32814	0,06628	12,34577	0,00000
0,5	0,01981	0,00516	1,30990	0,04804	9,30183	0,00000
0,6	0,01917	0,00500	1,29611	0,03425	6,85196	0,00000
0,7	0,01867	0,00487	1,28559	0,02373	4,87594	0,00004
0,8	0,01828	0,00477	1,27752	0,01566	3,28412	0,00275
0,9	0,01800	0,00469	1,27127	0,00941	2,00535	0,05468
1	0,01781	0,00464	1,26641	0,00455	0,98102	0,33498
1,1	0,01767	0,00461	1,26261	0,00075	0,16222	0,87229
1,2	0,01759	0,00459	1,25960	0,00225	0,49171	0,62675
1,3	0,01754	0,00457	1,25722	0,00464	1,01422	0,31916
1,4	0,01751	0,00457	1,25532	0,00654	1,43239	0,16310
1,5	0,01750	0,00456	1,25379	0,00807	1,76796	0,08796
1,6	0,01750	0,00456	1,25256	0,00930	2,03817	0,05108
1,7	0,01751	0,00457	1,25155	0,01030	2,25665	0,03202
1,8	0,01753	0,00457	1,25074	0,01112	2,43408	0,02156
1,9	0,01755	0,00457	1,25006	0,01180	2,57887	0,01546
2	0,01756	0,00458	1,24951	0,01235	2,69760	0,01170

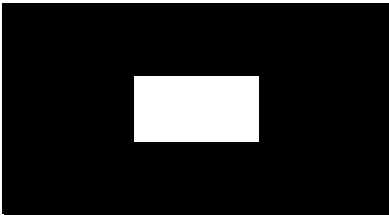
alpha	s_e	s_D	D	D-D_theo	T	p-value
naïve	0,01625	0,00499	1,25174	0,01012	2,03038	0,05308
0,2	0,02374	0,00728	1,39127	0,12941	17,76507	0,00000
0,3	0,02257	0,00692	1,35842	0,09656	13,94746	0,00000
0,4	0,02147	0,00659	1,33399	0,07213	10,95178	0,00000
0,5	0,02049	0,00629	1,31565	0,05379	8,55799	0,00000
0,6	0,01964	0,00603	1,30177	0,03991	6,62275	0,00000
0,7	0,01894	0,00581	1,29119	0,02933	5,04838	0,00003
0,8	0,01836	0,00563	1,28307	0,02121	3,76466	0,00090
0,9	0,01790	0,00549	1,27679	0,01493	2,71813	0,01175
1	0,01754	0,00538	1,27190	0,01004	1,86609	0,07380
1,1	0,01725	0,00529	1,26807	0,00621	1,17343	0,25168
1,2	0,01703	0,00523	1,26505	0,00319	0,61091	0,54678
1,3	0,01686	0,00517	1,26266	0,00080	0,15416	0,87872
1,4	0,01673	0,00513	1,26075	0,00111	0,21695	0,83001
1,5	0,01663	0,00510	1,25921	0,00265	0,51895	0,60836
1,6	0,01656	0,00508	1,25797	0,00389	0,76528	0,45127
1,7	0,01650	0,00506	1,25697	0,00489	0,96678	0,34291
1,8	0,01645	0,00505	1,25615	0,00571	1,13217	0,26831
1,9	0,01642	0,00504	1,25547	0,00639	1,26843	0,21633
2	0,01639	0,00503	1,25491	0,00694	1,38114	0,17946

FRAC83 21

Dim 1,89279

Depth 7

bestAlpha 0



alpha	s_e	s_D	D	D-D_theo	T	p-value
naïve	0,20198	0,06882	1,68494	0,20785	3,02040	0,00609
0,2	0,20474	0,06976	1,75179	0,14099	2,02124	0,05504
0,3	0,20266	0,06905	1,72432	0,16847	2,43977	0,02282
0,4	0,20180	0,06876	1,70800	0,18479	2,68755	0,01314
0,5	0,20153	0,06866	1,69841	0,19438	2,83087	0,00947
0,6	0,20152	0,06866	1,69281	0,19998	2,91266	0,00784
0,7	0,20159	0,06869	1,68954	0,20325	2,95905	0,00703
0,8	0,20169	0,06872	1,68764	0,20515	2,98533	0,00661
0,9	0,20177	0,06875	1,68653	0,20626	3,00024	0,00639
1	0,20183	0,06877	1,68588	0,20690	3,00874	0,00626
1,1	0,20188	0,06878	1,68550	0,20729	3,01361	0,00619
1,2	0,20191	0,06879	1,68528	0,20751	3,01641	0,00615
1,3	0,20193	0,06880	1,68514	0,20765	3,01804	0,00613
1,4	0,20195	0,06881	1,68506	0,20773	3,01900	0,00611
1,5	0,20196	0,06881	1,68501	0,20778	3,01956	0,00610
1,6	0,20196	0,06881	1,68498	0,20781	3,01989	0,00610
1,7	0,20197	0,06881	1,68497	0,20782	3,02009	0,00610
1,8	0,20197	0,06881	1,68495	0,20784	3,02021	0,00609
1,9	0,20197	0,06882	1,68495	0,20784	3,02028	0,00609
2	0,20197	0,06882	1,68494	0,20785	3,02033	0,00609

FRAC23a

7

Dim 0,63093

Depth 7

bestAlpha NaN

FRAC23b

8

Dim 0,63093

Depth 7

bestAlpha NaN

alpha	s_e	s_D	D	D-D_theo	T	p-value
naïve	0,02998	0,00746	0,62476	0,00617	0,82715	0,41490
0,2	0,04377	0,01089	0,82505	0,19412	17,82359	0,00000
0,3	0,04347	0,01082	0,79842	0,16749	15,48257	0,00000
0,4	0,04261	0,01060	0,77997	0,14904	14,05697	0,00000
0,5	0,04178	0,01040	0,76502	0,13409	12,89794	0,00000
0,6	0,04104	0,01021	0,75243	0,12151	11,89889	0,00000
0,7	0,04038	0,01005	0,74169	0,11076	11,02398	0,00000
0,8	0,03979	0,00990	0,73243	0,10150	10,25160	0,00000
0,9	0,03926	0,00977	0,72438	0,09345	9,56551	0,00000
1	0,03878	0,00965	0,71733	0,08640	8,95280	0,00000
1,1	0,03835	0,00954	0,71112	0,08019	8,40298	0,00000
1,2	0,03796	0,00945	0,70562	0,07469	7,90745	0,00000
1,3	0,03760	0,00936	0,70072	0,06979	7,45906	0,00000
1,4	0,03727	0,00927	0,69633	0,06540	7,05184	0,00000
1,5	0,03697	0,00920	0,69239	0,06146	6,68076	0,00000
1,6	0,03669	0,00913	0,68883	0,05790	6,34153	0,00000
1,7	0,03643	0,00907	0,68560	0,05467	6,03051	0,00000
1,8	0,03619	0,00901	0,68267	0,05174	5,74457	0,00000
1,9	0,03597	0,00895	0,68000	0,04907	5,48102	0,00001
2	0,03577	0,00890	0,67755	0,04662	5,23751	0,00001

alpha	s_e	s_D	D	D-D_theo	T	p-value
naïve	0,02831	0,00628	0,62348	0,00745	1,18651	0,24416
0,2	0,03582	0,00795	0,82351	0,19258	24,23780	0,00000
0,3	0,03665	0,00813	0,79578	0,16485	20,28013	0,00000
0,4	0,03613	0,00801	0,77727	0,14635	18,26119	0,00000
0,5	0,03546	0,00787	0,76237	0,13144	16,71141	0,00000
0,6	0,03485	0,00773	0,74984	0,11891	15,38600	0,00000
0,7	0,03430	0,00761	0,73915	0,10822	14,22504	0,00000
0,8	0,03382	0,00750	0,72992	0,09899	13,19900	0,00000
0,9	0,03339	0,00740	0,72191	0,09098	12,28673	0,00000
1	0,03300	0,00732	0,71490	0,08397	11,47147	0,00000
1,1	0,03266	0,00724	0,70872	0,07779	10,73955	0,00000
1,2	0,03235	0,00717	0,70325	0,07232	10,07972	0,00000
1,3	0,03207	0,00711	0,69838	0,06745	9,48260	0,00000
1,4	0,03182	0,00706	0,69401	0,06309	8,94033	0,00000
1,5	0,03159	0,00701	0,69010	0,05917	8,44624	0,00000
1,6	0,03137	0,00696	0,68656	0,05563	7,99469	0,00000
1,7	0,03118	0,00692	0,68336	0,05243	7,58084	0,00000
1,8	0,03101	0,00688	0,68044	0,04951	7,20052	0,00000
1,9	0,03084	0,00684	0,67779	0,04686	6,85015	0,00000
2	0,03069	0,00681	0,67536	0,04443	6,52660	0,00000

FRAC33c

11

Dim FRAC33c

Depth 7

bestAlpha NaN

FRAC33d

12

Dim 1

Depth 7

bestAlpha NaN

alpha	s_e	s_D	D	D-D_theo	T	p-value
naïve	0,01370	0,00467	0,98542	0,01458	3,12523	0,00475
0,2	0,01811	0,00617	1,18733	0,18733	30,36441	0,00000
0,3	0,01748	0,00595	1,15602	0,15602	26,20055	0,00000
0,4	0,01685	0,00574	1,13098	0,13098	22,81200	0,00000
0,5	0,01625	0,00554	1,11070	0,11070	19,99083	0,00000
0,6	0,01569	0,00535	1,09408	0,09408	17,59691	0,00000
0,7	0,01518	0,00517	1,08034	0,08034	15,53369	0,00000
0,8	0,01472	0,00501	1,06887	0,06887	13,73327	0,00000
0,9	0,01431	0,00488	1,05922	0,05922	12,14705	0,00000
1	0,01395	0,00475	1,05105	0,05105	10,73948	0,00000
1,1	0,01364	0,00465	1,04409	0,04409	9,48403	0,00000
1,2	0,01338	0,00456	1,03811	0,03811	8,36032	0,00000
1,3	0,01316	0,00448	1,03296	0,03296	7,35223	0,00000
1,4	0,01297	0,00442	1,02849	0,02849	6,44659	0,00000
1,5	0,01282	0,00437	1,02460	0,02460	5,63230	0,00001
1,6	0,01269	0,00432	1,02119	0,02119	4,89980	0,00006
1,7	0,01259	0,00429	1,01819	0,01819	4,24064	0,00031
1,8	0,01251	0,00426	1,01555	0,01555	3,64728	0,00134
1,9	0,01245	0,00424	1,01321	0,01321	3,11293	0,00490
2	0,01241	0,00423	1,01112	0,01112	2,63148	0,01492

alpha	s_e	s_D	D	D-D_theo	T	p-value
naïve	0,01177	0,00401	0,97922	0,02078	5,18271	0,00003
0,2	0,01944	0,00662	1,17455	0,17455	26,35894	0,00000
0,3	0,01869	0,00637	1,14365	0,14365	22,55448	0,00000
0,4	0,01795	0,00612	1,11899	0,11899	19,45855	0,00000
0,5	0,01722	0,00587	1,09906	0,09906	16,88018	0,00000
0,6	0,01654	0,00563	1,08278	0,08278	14,69088	0,00000
0,7	0,01590	0,00542	1,06934	0,06934	12,80182	0,00000
0,8	0,01531	0,00522	1,05815	0,05815	11,15022	0,00000
0,9	0,01477	0,00503	1,04876	0,04876	9,69081	0,00000
1	0,01428	0,00487	1,04083	0,04083	8,39044	0,00000
1,1	0,01385	0,00472	1,03409	0,03409	7,22437	0,00000
1,2	0,01346	0,00459	1,02832	0,02832	6,17379	0,00000
1,3	0,01312	0,00447	1,02336	0,02336	5,22411	0,00003
1,4	0,01282	0,00437	1,01906	0,01906	4,36370	0,00023
1,5	0,01256	0,00428	1,01533	0,01533	3,58307	0,00157
1,6	0,01233	0,00420	1,01208	0,01208	2,87423	0,00857
1,7	0,01213	0,00413	1,00922	0,00922	2,23030	0,03577
1,8	0,01196	0,00408	1,00670	0,00670	1,64523	0,11352
1,9	0,01181	0,00403	1,00448	0,00448	1,11360	0,27695
2	0,01169	0,00398	1,00251	0,00251	0,63050	0,53458

FRAC33g

15

Dim 1

Depth 7

bestAlpha NaN

FRAC33h

16

Dim 1

Depth 7

bestAlpha NaN

alpha	s_e	s_D	D	D-D_theo	T	p-value
naïve	0,02213	0,00577	0,98921	0,01079	1,86964	0,07202
0,2	0,03021	0,00788	1,15455	0,15455	19,62037	0,00000
0,3	0,02920	0,00761	1,12491	0,12491	16,40884	0,00000
0,4	0,02827	0,00737	1,10166	0,10166	13,79049	0,00000
0,5	0,02745	0,00716	1,08321	0,08321	11,62727	0,00000
0,6	0,02671	0,00696	1,06840	0,06840	9,82107	0,00000
0,7	0,02607	0,00680	1,05641	0,05641	8,30026	0,00000
0,8	0,02550	0,00665	1,04662	0,04662	7,01125	0,00000
0,9	0,02502	0,00652	1,03857	0,03857	5,91297	0,00000
1	0,02460	0,00641	1,03190	0,03190	4,97322	0,00003
1,1	0,02424	0,00632	1,02633	0,02633	4,16630	0,00027
1,2	0,02393	0,00624	1,02166	0,02166	3,47133	0,00170
1,3	0,02367	0,00617	1,01772	0,01772	2,87115	0,00771
1,4	0,02345	0,00611	1,01438	0,01438	2,35150	0,02597
1,5	0,02326	0,00607	1,01153	0,01153	1,90045	0,06772
1,6	0,02310	0,00602	1,00908	0,00908	1,50799	0,14276
1,7	0,02297	0,00599	1,00698	0,00698	1,16565	0,25359
1,8	0,02286	0,00596	1,00516	0,00516	0,86628	0,39370
1,9	0,02276	0,00593	1,00358	0,00358	0,60382	0,55083
2	0,02268	0,00591	1,00221	0,00221	0,37311	0,71188

alpha	s_e	s_D	D	D-D_theo	T	p-value
naïve	0,01394	0,00428	0,98374	0,01626	3,80167	0,00082
0,2	0,02398	0,00736	1,16471	0,16471	22,38379	0,00000
0,3	0,02305	0,00707	1,13439	0,13439	19,00468	0,00000
0,4	0,02213	0,00679	1,11037	0,11037	16,25831	0,00000
0,5	0,02125	0,00652	1,09112	0,09112	13,97861	0,00000
0,6	0,02042	0,00626	1,07551	0,07551	12,05307	0,00000
0,7	0,01966	0,00603	1,06274	0,06274	10,40329	0,00000
0,8	0,01896	0,00582	1,05220	0,05220	8,97333	0,00000
0,9	0,01833	0,00562	1,04343	0,04343	7,72239	0,00000
1	0,01777	0,00545	1,03608	0,03608	6,62014	0,00000
1,1	0,01726	0,00530	1,02989	0,02989	5,64348	0,00001
1,2	0,01682	0,00516	1,02463	0,02463	4,77449	0,00007
1,3	0,01642	0,00504	1,02015	0,02015	3,99889	0,00050
1,4	0,01608	0,00493	1,01630	0,01630	3,30508	0,00287
1,5	0,01578	0,00484	1,01299	0,01299	2,68338	0,01274
1,6	0,01551	0,00476	1,01012	0,01012	2,12560	0,04359
1,7	0,01528	0,00469	1,00762	0,00762	1,62466	0,11678
1,8	0,01508	0,00463	1,00543	0,00543	1,17436	0,25132
1,9	0,01491	0,00457	1,00352	0,00352	0,76925	0,44895
2	0,01476	0,00453	1,00183	0,00183	0,40448	0,68930

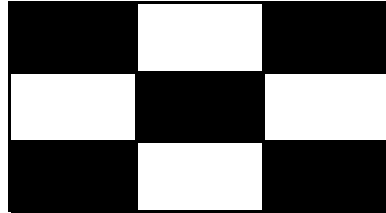
FRAC53a

19

Dim 1,464974

Depth 7

bestAlpha 0,893836

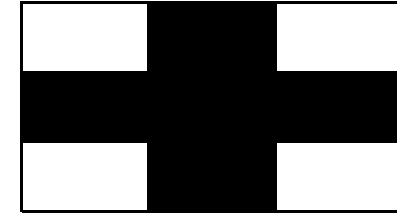
**FRAC53b**

20

Dim 1,464974

Depth 7

bestAlpha 0,828412



alpha	s_e	s_D	D	D-D_theo	T	p-value
naïve	0,01023	0,00314	1,44818	0,01680	5,35187	0,00002
0,2	0,02041	0,00626	1,57676	0,11179	17,85293	0,00000
0,3	0,01887	0,00579	1,54202	0,07705	13,30684	0,00000
0,4	0,01738	0,00533	1,51715	0,05217	9,78462	0,00000
0,5	0,01603	0,00492	1,49923	0,03425	6,96665	0,00000
0,6	0,01486	0,00456	1,48624	0,02126	4,66516	0,00009
0,7	0,01388	0,00426	1,47676	0,01179	2,76742	0,01048
0,8	0,01309	0,00402	1,46980	0,00483	1,20174	0,24073
0,9	0,01247	0,00382	1,46466	0,00032	0,08291	0,93459
1	0,01198	0,00367	1,46083	0,00415	1,12813	0,26997
1,1	0,01160	0,00356	1,45796	0,00701	1,97111	0,05988
1,2	0,01131	0,00347	1,45579	0,00918	2,64586	0,01389
1,3	0,01108	0,00340	1,45415	0,01082	3,18299	0,00387
1,4	0,01091	0,00335	1,45289	0,01208	3,60919	0,00134
1,5	0,01078	0,00331	1,45192	0,01305	3,94697	0,00057
1,6	0,01067	0,00327	1,45117	0,01380	4,21482	0,00028
1,7	0,01059	0,00325	1,45059	0,01439	4,42763	0,00016
1,8	0,01053	0,00323	1,45013	0,01485	4,59721	0,00011
1,9	0,01047	0,00321	1,44976	0,01521	4,73282	0,00007
2	0,01043	0,00320	1,44948	0,01550	4,84171	0,00006

alpha	s_e	s_D	D	D-D_theo	T	p-value
naïve	0,01170	0,00399	1,44675	0,01822	4,57056	0,00014
0,2	0,01957	0,00667	1,57080	0,10583	15,86837	0,00000
0,3	0,01827	0,00622	1,53652	0,07154	11,49425	0,00000
0,4	0,01704	0,00580	1,51211	0,04714	8,12086	0,00000
0,5	0,01595	0,00543	1,49464	0,02967	5,46085	0,00001
0,6	0,01503	0,00512	1,48207	0,01710	3,33969	0,00284
0,7	0,01428	0,00486	1,47297	0,00800	1,64463	0,11365
0,8	0,01368	0,00466	1,46635	0,00138	0,29553	0,77024
0,9	0,01322	0,00451	1,46150	0,00347	0,77063	0,44877
1	0,01287	0,00438	1,45793	0,00705	1,60680	0,12174
1,1	0,01260	0,00429	1,45528	0,00970	2,25834	0,03372
1,2	0,01240	0,00422	1,45330	0,01167	2,76369	0,01105
1,3	0,01224	0,00417	1,45182	0,01316	3,15469	0,00443
1,4	0,01212	0,00413	1,45069	0,01428	3,45704	0,00214
1,5	0,01203	0,00410	1,44984	0,01513	3,69111	0,00121
1,6	0,01197	0,00408	1,44919	0,01579	3,87274	0,00077
1,7	0,01191	0,00406	1,44868	0,01629	4,01415	0,00054
1,8	0,01187	0,00404	1,44829	0,01668	4,12468	0,00041
1,9	0,01184	0,00403	1,44799	0,01699	4,21146	0,00033
2	0,01181	0,00402	1,44775	0,01723	4,27991	0,00028